

$^{28}\text{Si}(^{24}\text{Mg},\alpha p n\gamma)$     [1999Le30,1999Ol01](#)

Type	Author	History Citation	Literature Cutoff Date
Full Evaluation	S. -c. Wu	NDS 91, 1 (2000)	15-Jul-2000

Additional information 1.

$\text{E}(\text{Mg}^{24})=100$  MeV ([1999Le30](#)); Si target enriched to 99.9% of 0.4 mg/cm<sup>2</sup>. GASP  $\gamma$ -ray array: 40 Compton suppressed HP Ge detectors with an inner ball of 80 BGO crystals for  $\gamma$  rays. 4  $\pi$  ISIS array: 40 E- $\Delta$ E Si telescopes for charged particles.  $\gamma$ ,  $\gamma\gamma$ ,  $\gamma(\theta)$ , DCO. Level energies,  $J^\pi$ , determined. See also, [1998Le43](#).

$^{24}\text{Mg}^{(28)\text{Si},\alpha p n\gamma}$ :  $\text{E}(\text{Mg}^{24})=87$  MeV ([1999Ol01](#)); Mg target of 500  $\mu\text{g}/\text{cm}^2$ . PEX apparatus: 4 Euroball cluster detectors at 104.6° and 145.8°. A dodecahedral silicon-wafer array of 31 detectors for charged particles. A neutron wall of 15 liquid scintillators.  $\gamma$ ,  $\gamma\gamma$ ,  $\gamma(\theta)$ . Level energies,  $J^\pi$  determined.

 $^{46}\text{V}$  Levels

E(level) <sup>†</sup>	$J^\pi$ <sup>‡</sup>	Comments
0.0 <sup>&amp;</sup>	0 <sup>+</sup>	T: 1 isobaric state analog to the ground state of $^{46}\text{Ti}$ .
801.9 <sup>b</sup> 8	3 <sup>+</sup>	
914.9 <sup>&amp;</sup> 7	2 <sup>+</sup>	T: 1 isobaric state analog to the 889-keV state of $^{46}\text{Ti}$ .
994.2 <sup>@</sup> 8	1 <sup>+</sup>	
1178.9 <sup>c</sup> 10	4 <sup>+</sup>	
1223.8 <sup>b</sup> 9	5 <sup>+</sup>	
1236.6 <sup>@</sup> 10	(0 <sup>-</sup> )	
1253.9 <sup>d</sup> 10		
1366.0 <sup>#</sup> 7	2	
1375.6 <sup>a</sup> 9	3 <sup>+</sup>	
1537.9 <sup>c</sup> 9	6 <sup>+</sup>	
1602.7 <sup>b</sup> 10	7 <sup>+</sup>	
1665.5 <sup>@</sup> 11	3	
1724.8 <sup>a</sup> 9	5 <sup>+</sup>	
1794.9 <sup>d</sup> 14		
1955.3 <sup>#</sup> 9	4 <sup>-</sup>	
2053.3 <sup>&amp;</sup> 11	4 <sup>+</sup>	T: 1 isobaric state analog to the 2010-keV state of $^{46}\text{Ti}$ .
2387.1 <sup>@</sup> 10	5 <sup>-</sup>	
2427.9 <sup>d</sup> 14		
2922.5 <sup>#</sup> 9	6 <sup>-</sup>	
3093.9 <sup>b</sup> 12	9 <sup>+</sup>	
3314.3 <sup>c</sup> 11	8 <sup>+</sup>	
3364.8 <sup>&amp;</sup> 14	6 <sup>+</sup>	T: 1 isobaric state analog to the 3300-keV state of $^{46}\text{Ti}$ .
3405.6 <sup>d</sup> 11	(6 <sup>-</sup> )	
3521.1 <sup>@</sup> 15	7 <sup>-</sup>	
3640.9 <sup>a</sup> 11	7 <sup>+</sup>	
4182.7 <sup>#</sup> 11	8 <sup>-</sup>	
4223.2 <sup>d</sup> 11	(7 <sup>-</sup> )	
4474.8 <sup>d</sup> 11	(8 <sup>-</sup> )	
4566.9 <sup>b</sup> 16	11 <sup>+</sup>	
4842.9 <sup>&amp;</sup> 14	(8 <sup>+</sup> )	T: (1) from <a href="#">1999Le30</a> .
4917.1 <sup>c</sup> 13	10 <sup>+</sup>	
4931.0 <sup>@</sup> 18	9 <sup>-</sup>	
4944.9 <sup>d</sup> 12	(9 <sup>-</sup> )	

Continued on next page (footnotes at end of table)

---

 $^{28}\text{Si}(\text{Mg},\alpha\text{p}\gamma)$     **1999Le30,1999Ol01 (continued)**


---



---

 **$^{46}\text{V}$  Levels (continued)**


---

E(level) <sup>†</sup>	J <sup>‡</sup>	Comments
5281.9 <sup>#</sup> 13	10 <sup>-</sup>	
6253.9 <sup>@</sup> 20	11 <sup>-</sup>	
7106.0 <sup>b</sup> 19	13 <sup>+</sup>	
7165.0 <sup>#</sup> 16	12 <sup>-</sup>	
7728.1 <sup>&amp;</sup> 16	(11 <sup>+</sup> )	T: (1) from <a href="#">1999Le30</a> .
8198.0 <sup>@</sup> 23	13 <sup>-</sup>	
8269.1 <sup>&amp;</sup> 19	(12 <sup>+</sup> )	T: (1) from <a href="#">1999Le30</a> .
8488.9 <sup>b</sup> 21	15 <sup>+</sup>	
9811.1 <sup>#</sup> 19	14 <sup>-</sup>	
10106.0 <sup>&amp;</sup> 24	(14 <sup>+</sup> )	T: (1) from <a href="#">1999Le30</a> .
10849.0 <sup>@</sup> 25	15 <sup>-</sup>	
11758.1 24	(16 <sup>+</sup> )	
11778.8 <sup>#</sup> 22	16 <sup>-</sup>	
13629 <sup>@</sup> 3	17 <sup>-</sup>	

<sup>†</sup> Deduced from a least-square fit to  $\gamma$ -energies assuming  $\gamma$ -ray energy uncertainties of 1 keV.

<sup>‡</sup> Deduced from  $\gamma$ -ray angular distribution and the DCO ratios ([1997LE30](#)).

# Band(A): band built on 1366 (2<sup>-</sup>) level.

@ Band(B): band built on 994 (1<sup>-</sup>) level.

& Band(C): T=1 g.s. band.

<sup>a</sup> Band(D): T=0 band built on 1376 (3<sup>+</sup>) level.

<sup>b</sup> Band(E): T=0 band built on K<sup>π</sup>=3<sup>+</sup> isomeric state.

<sup>c</sup> Band(F): T=0 band built on 1179 (4<sup>+</sup>) level.

<sup>d</sup> Band(G): band built on 1254 level, not observed In [1999Ol01](#).

---

 **$\gamma(^{46}\text{V})$** 


---

E <sub>i</sub> (level)	J <sup>π</sup> <sub>i</sub>	E <sub>γ</sub> <sup>†</sup>	E <sub>f</sub>	J <sup>π</sup> <sub>f</sub>	Mult. <sup>#</sup>	E <sub>i</sub> (level)	J <sup>π</sup> <sub>i</sub>	E <sub>γ</sub> <sup>†</sup>	I <sub>γ</sub> <sup>‡</sup>	E <sub>f</sub>	J <sup>π</sup> <sub>f</sub>	Mult. <sup>#</sup>
801.9	3 <sup>+</sup>	802	0.0	0 <sup>+</sup>		1724.8	5 <sup>+</sup>	349		1375.6	3 <sup>+</sup>	
914.9	2 <sup>+</sup>	914.9	0.0	0 <sup>+</sup>	E2			500		1223.8	5 <sup>+</sup>	E2
994.2	1 <sup>+</sup>	994	0.0	0 <sup>+</sup>		1794.9		541 <sup>@</sup>		1253.9		
1178.9	4 <sup>+</sup>	377	801.9	3 <sup>+</sup>	E2	1955.3	4 <sup>-</sup>	230 <sup>@</sup>		1724.8	5 <sup>+</sup>	
1223.8	5 <sup>+</sup>	422	801.9	3 <sup>+</sup>				580 <sup>@</sup>		1375.6	3 <sup>+</sup>	
1236.6	(0 <sup>-</sup> )	242 <sup>@</sup>	994.2	1 <sup>+</sup>				589		1366.0	2	
1253.9		339 <sup>@</sup>	914.9	2 <sup>+</sup>				732 <sup>@</sup>		1223.8	5 <sup>+</sup>	
		452 <sup>@</sup>	801.9	3 <sup>+</sup>		2053.3	4 <sup>+</sup>	678	100 20	1375.6	3 <sup>+</sup>	M1
1366.0	2	129 <sup>@</sup>	1236.6	(0 <sup>-</sup> )		2387.1	5 <sup>-</sup>	334		2053.3	4 <sup>+</sup>	
		372	994.2	1 <sup>+</sup>				721.5		1665.5	3	
		451	914.9	2 <sup>+</sup>				849 <sup>@</sup>		1537.9	6 <sup>+</sup>	
		1366	0.0	0 <sup>+</sup>		2427.9		1174 <sup>@</sup>		1253.9		
1375.6	3 <sup>+</sup>	461	914.9	2 <sup>+</sup>	M1	2922.5	6 <sup>-</sup>	967.7		1955.3	4 <sup>-</sup>	
1537.9	6 <sup>+</sup>	314	1223.8	5 <sup>+</sup>	E2			1198 <sup>@</sup>		1724.8	5 <sup>+</sup>	
		359	1178.9	4 <sup>+</sup>				1384 <sup>@</sup>		1537.9	6 <sup>+</sup>	
1602.7	7 <sup>+</sup>	379	1223.8	5 <sup>+</sup>				1698 <sup>@</sup>		1223.8	5 <sup>+</sup>	
1665.5	3	750.5	914.9	2 <sup>+</sup>		3093.9	9 <sup>+</sup>	1491		1602.7	7 <sup>+</sup>	

---

Continued on next page (footnotes at end of table)

---

---

 $^{28}\text{Si}(\alpha, \text{pn}\gamma)$     **1999Le30, 1999Ol01 (continued)**


---

 $\gamma(^{46}\text{V})$  (continued)

$E_i$ (level)	$J_i^\pi$	$E_\gamma^{\dagger}$	$I_\gamma^{\ddagger}$	$E_f$	$J_f^\pi$	Mult. <sup>#</sup>	Comments
3314.3	8 <sup>+</sup>	1712		1602.7	7 <sup>+</sup>		
		1776		1537.9	6 <sup>+</sup>		
3364.8	6 <sup>+</sup>	1640	100 40	1724.8	5 <sup>+</sup>	M1	
3405.6	(6 <sup>-</sup> )	1450 @		1955.3	4 <sup>-</sup>		
		1868 @		1537.9	6 <sup>+</sup>		
3521.1	7 <sup>-</sup>	1134		2387.1	5 <sup>-</sup>		
3640.9	7 <sup>+</sup>	1915		1724.8	5 <sup>+</sup>		
		2418 @		1223.8	5 <sup>+</sup>	E2	
4182.7	8 <sup>-</sup>	1259.8		2922.5	6 <sup>-</sup>		
		2580 @		1602.7	7 <sup>+</sup>		
4223.2	(7 <sup>-</sup> )	2620 @		1602.7	7 <sup>+</sup>		
		2686 @		1537.9	6 <sup>+</sup>		
4474.8	(8 <sup>-</sup> )	1552 @		2922.5	6 <sup>-</sup>		
		2872 @		1602.7	7 <sup>+</sup>		
4566.9	11 <sup>+</sup>	1473		3093.9	9 <sup>+</sup>		
4842.9	(8 <sup>+</sup> )	3240 @	100 45	1602.7	7 <sup>+</sup>	M1	
4917.1	10 <sup>+</sup>	1603		3314.3	8 <sup>+</sup>		
		1823		3093.9	9 <sup>+</sup>	E2	
4931.0	9 <sup>-</sup>	1409.9		3521.1	7 <sup>-</sup>		
4944.9	(9 <sup>-</sup> )	470 @		4474.8	(8 <sup>-</sup> )		
		722 @		4223.2	(7 <sup>-</sup> )		
		762 @		4182.7	8 <sup>-</sup>		
5281.9	10 <sup>-</sup>	1099.2		4182.7	8 <sup>-</sup>		
		2188 @		3093.9	9 <sup>+</sup>		
6253.9	11 <sup>-</sup>	1322.9		4931.0	9 <sup>-</sup>		
7106.0	13 <sup>+</sup>	2539		4566.9	11 <sup>+</sup>		
7165.0	12 <sup>-</sup>	1883		5281.9	10 <sup>-</sup>		
7728.1	(11 <sup>+</sup> )	4634 @		3093.9	9 <sup>+</sup>		
8198.0	13 <sup>-</sup>	1944		6253.9	11 <sup>-</sup>		
8269.1	(12 <sup>+</sup> )	3702 @	100 30	4566.9	11 <sup>+</sup>	M1	
8488.9	15 <sup>+</sup>	1382.9		7106.0	13 <sup>+</sup>		
9811.1	14 <sup>-</sup>	2646 @		7165.0	12 <sup>-</sup>		
10106.0	(14 <sup>+</sup> )	1617 @	100 30	8488.9	15 <sup>+</sup>	M1	
10849.0	15 <sup>-</sup>	2651 @		8198.0	13 <sup>-</sup>		
11758.1	(16 <sup>+</sup> )	3269 @		8488.9	15 <sup>+</sup>		
11778.8	16 <sup>-</sup>	1967.7 @		9811.1	14 <sup>-</sup>		
13629	17 <sup>-</sup>	2780 @		10849.0	15 <sup>-</sup>		

<sup>†</sup> From average of 1999Le30 and 1999Ol01, except as noted.

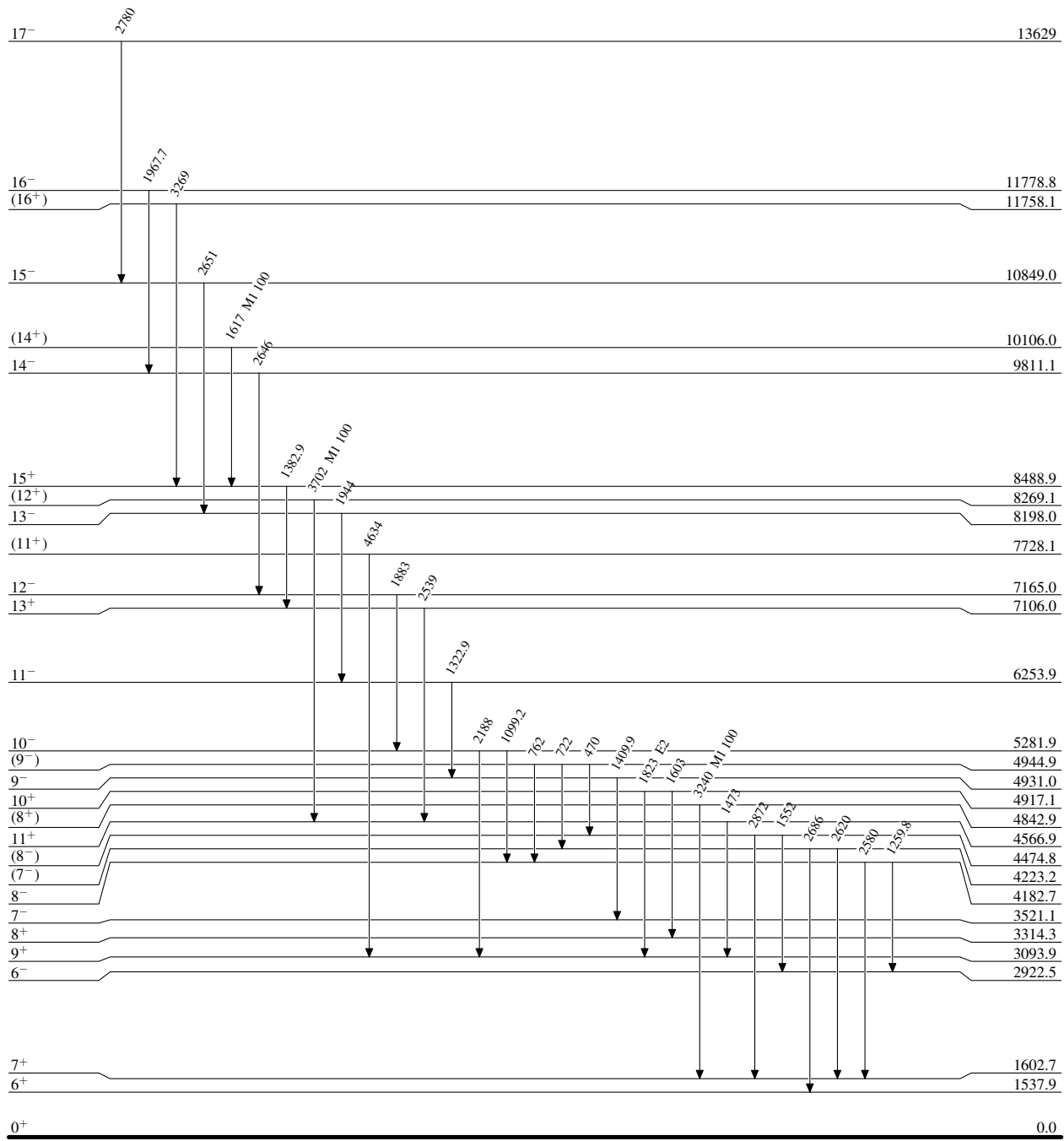
<sup>‡</sup> From 1999Le30.

<sup>#</sup> From DCO analysis, 1999Le30.

@ From 1999Le30, not given in 1999Ol01.

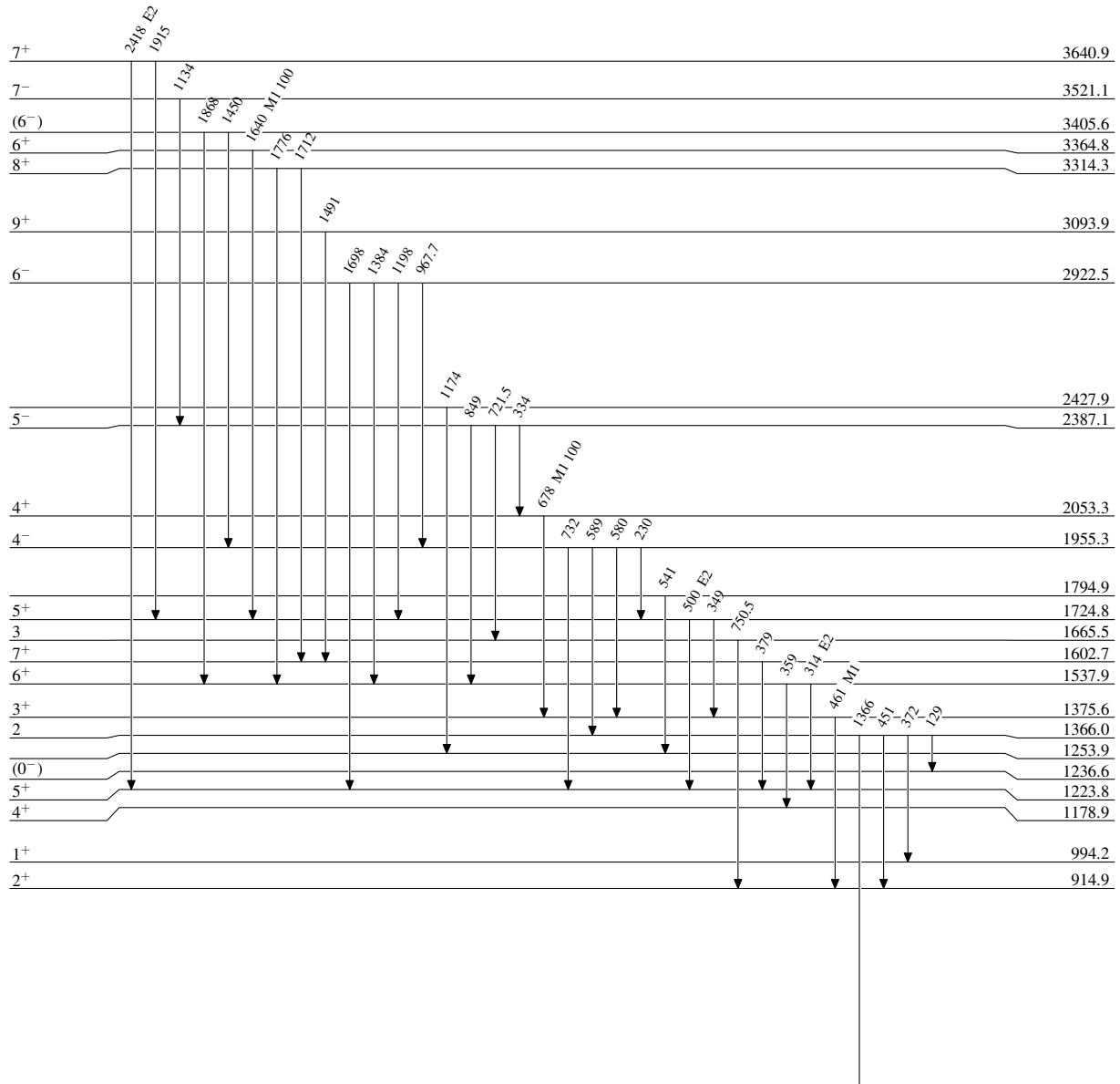
$^{28}\text{Si}(^{24}\text{Mg},\alpha p n\gamma)$     1999Le30,1999Ol01Level Scheme

Intensities: Relative photon branching from each level



$^{28}\text{Si}(^{24}\text{Mg},\alpha\text{pn}\gamma)$     1999Le30,1999Ol01Level Scheme (continued)

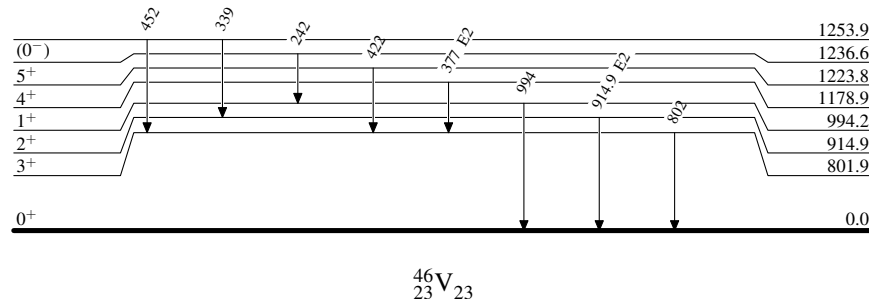
Intensities: Relative photon branching from each level



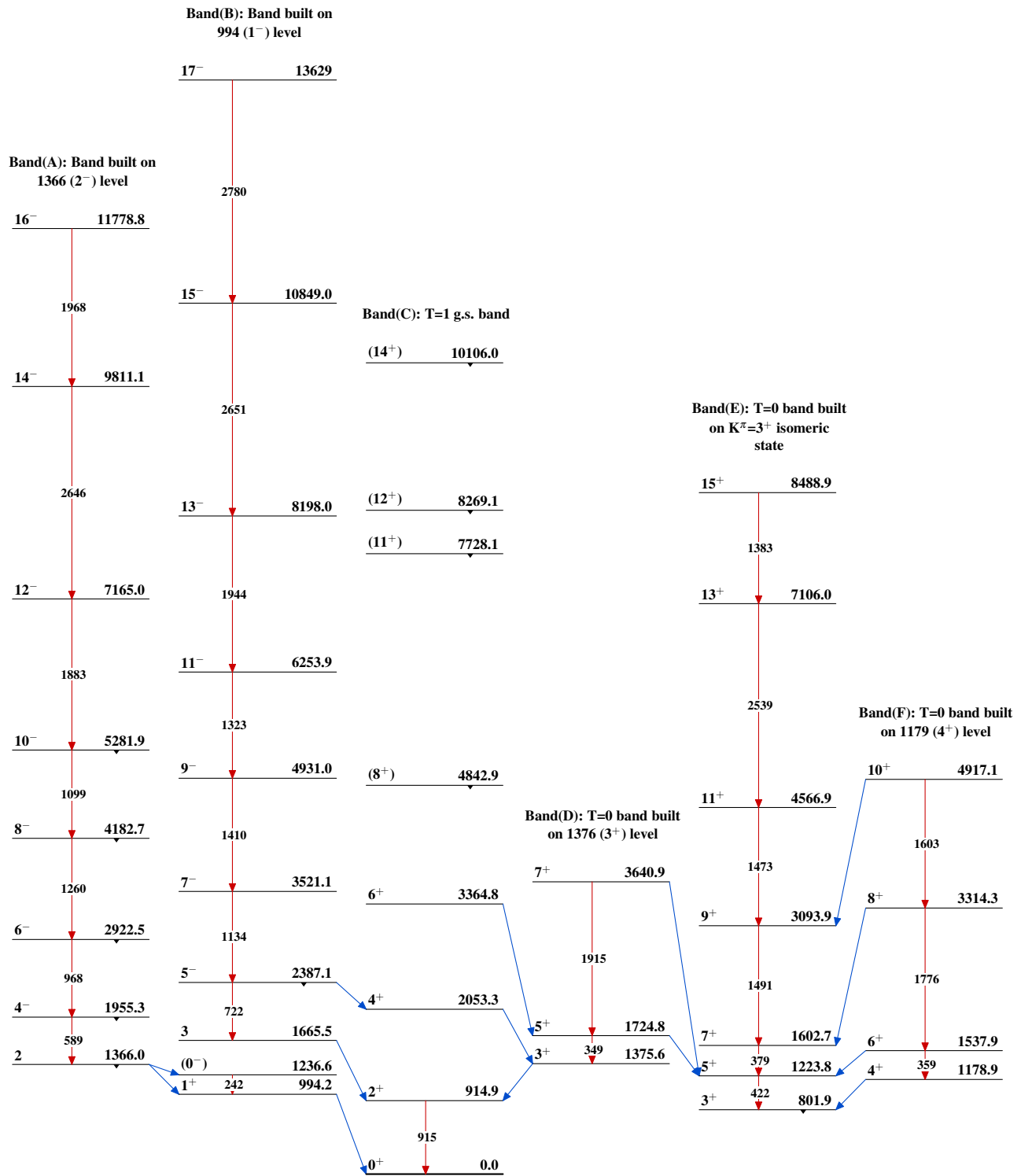
---

 $^{28}\text{Si}({}^{24}\text{Mg},\alpha\text{pn}\gamma)$     1999Le30,1999Ol01Level Scheme (continued)

Intensities: Relative photon branching from each level



$^{28}\text{Si}(\alpha, \gamma)$  1999Le30, 1999Ol01



$^{28}\text{Si}(\alpha, \text{pn}\gamma)$     1999Le30, 1999Ol01 (continued)

Band(G): Band built on 1254 level,  
not observed in 1999Ol01

